

LNNA向け回路生成における swapゲート個数最小化問題

東京大学大学院 情報理工学系研究科 電子情報学専攻

長谷川研究室 修士1年 内藤壮俊

自己紹介

- ▶ プログラミング経験
 - ▶ 競技プログラミング (C++)
 - ▶ ゲーム開発 (Unity C#)
 - ▶ 研究, ウェブ開発 (Python, JavaScript)
- ▶ 量子コンピューティングの経験
 - ▶ 量子ゲート型 : IBM Quantum Challenge 2020 に参加した程度
 - ▶ 量子アニーリング型 : 今回が初めて

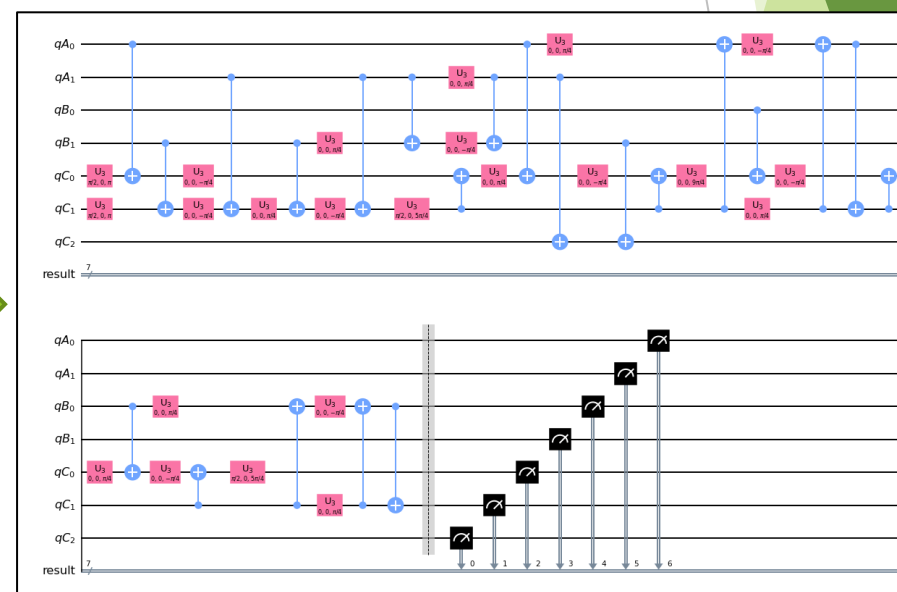
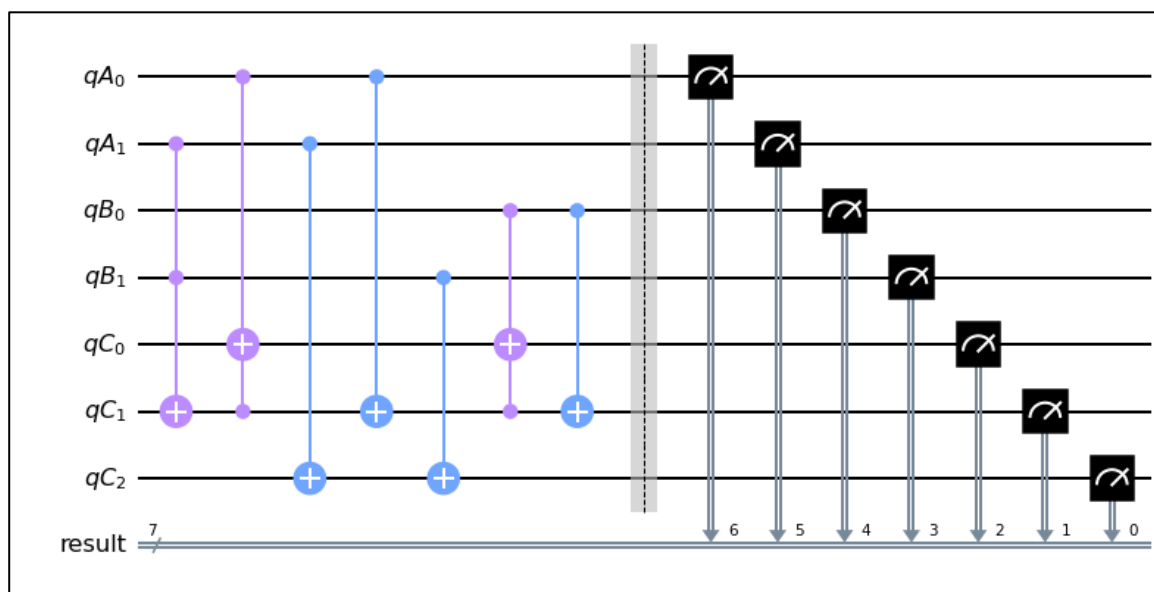
参加したきっかけ

- ▶ 量子アニーリングを使って、量子ゲートの回路設計を支援できないか？
 - ▶ コラボって感じがしてカッコいい
- ▶ 現存するゲート型量子コンピュータは数十ビット程度の規模なので、扱う問題の大きさとしてちょうど良い...？
 - ▶ アニーリングが先行している分だけ、アドバンテージが活かせそう

テーマ説明

量子ゲート型計算機

- ▶ ゲート通過 = ユニタリ変換 による状態の変化を利用
- ▶ 任意の回路はU3ゲート(1入力)とCXゲート(2入力)に展開することができる
 - ▶ CXゲートにおけるエラー率はU3ゲートの10倍程度

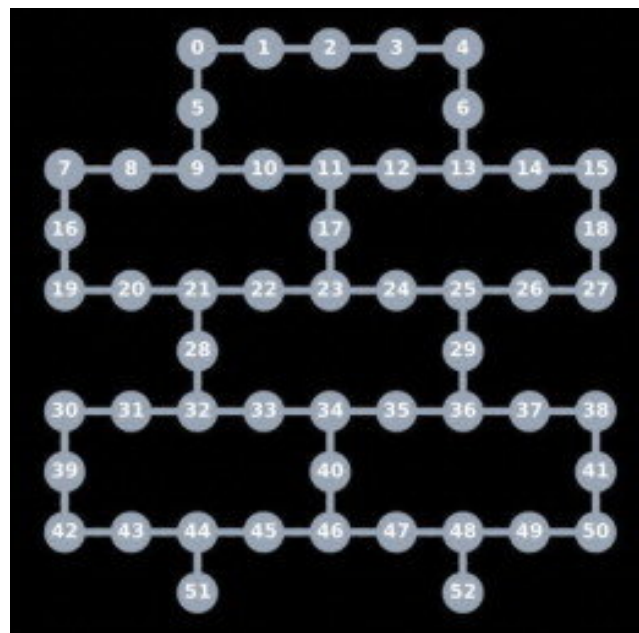


図：IBM Qにて作成した量子回路の例。
(左：回路設計段階における見た目。 右：U3ゲートとCXゲートに展開した結果。)

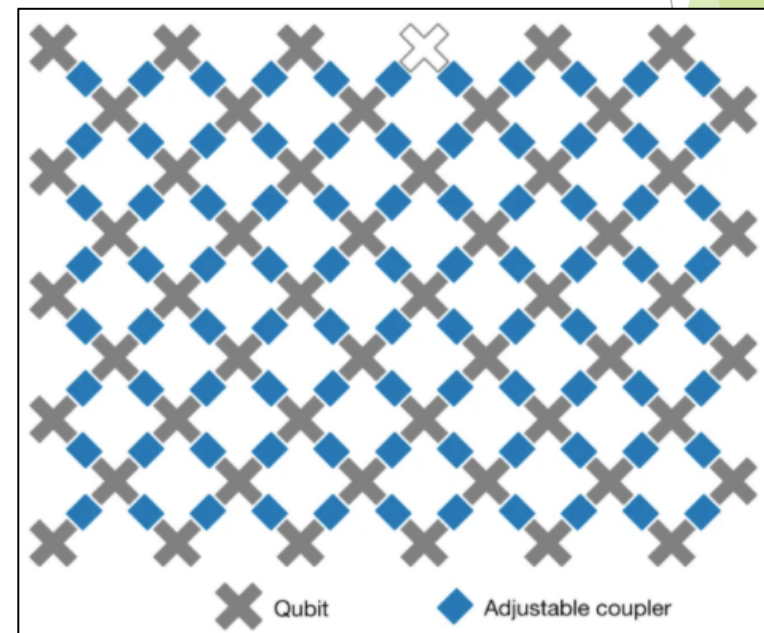
量子回路の実機搭載

- ▶ 「設計図上のビット」と「デバイス上のビット」の対応を考える必要がある
- ▶ CXゲートは物理的に隣り合う2ビットにしか作用できない
- ▶ 離れている場合は？
 - ▶ → SWAPゲートを使って入れ替える必要がある

左図：
IBM「Rochester」における
量子ビットの配置。



右図：
Google「Sycamore」における
量子ビットの配置。

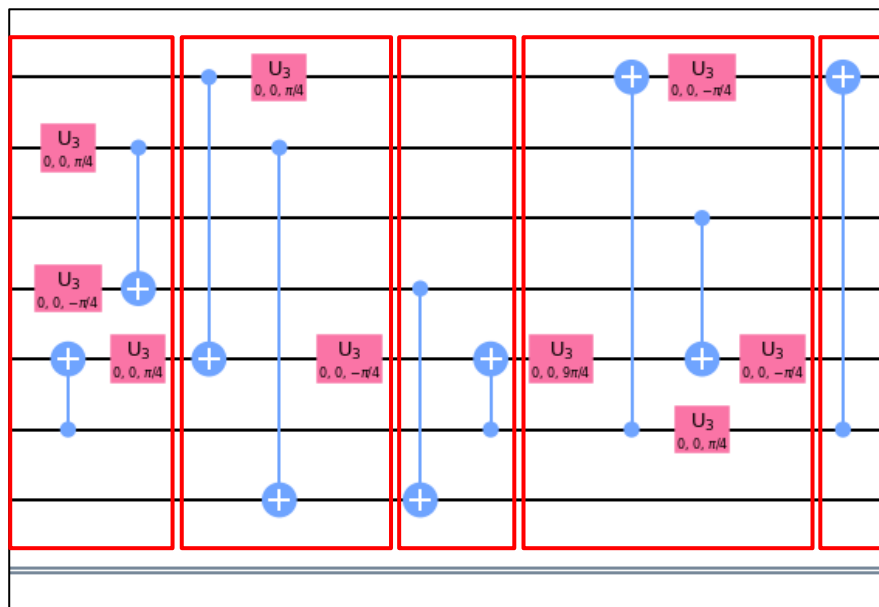


Linear Nearest Neighbor Architecture

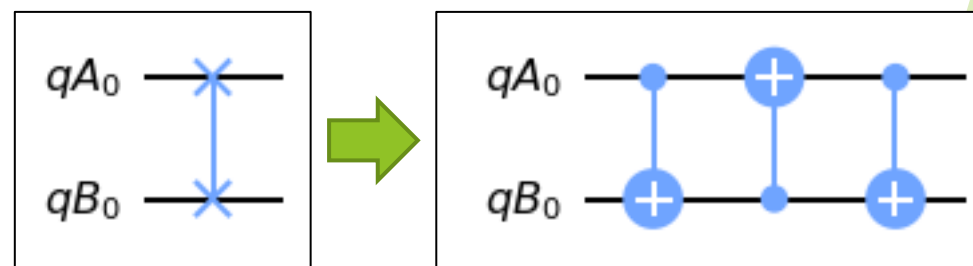
- ▶ 量子ビットが1次元状に並んでいるアーキテクチャのこと
- ▶ SWAPゲートによる並び替えはバブルソートと非常に似ている
 - ▶ 挿入する個数 = バブルソートの交換回数 = 転倒数 となるため, 扱いやすい問題に
 - ▶ 一般の場合は, グラフの形状に大きく左右されてしまう

扱う問題

- ▶ 量子ビットを共有しないように, CXゲートをレイヤーにまとめる
- ▶ CXゲートを含むレイヤーのそれぞれに対し, 量子ビットの配置を決定する
- ▶ 並び替えの際に使用するSWAPゲートの個数を減らしたい
 - ▶ SWAPゲート1つに, CXゲートを3つも使ってしまうため



図：レイヤーの構成.



図：SWAPゲートの構成.

古典的なアプローチ (動的計画法による高速化)

- ▶ 量子ビットの個数 N に対し, 各レイヤーにおける配置は $N!$ 通り
- ▶ レイヤーの枚数 M に対して, 全体の取りうる状態数は $(N!)^M$ 通り
- ▶ 配置に対する暫定的なコストを持っておくことで,
空間計算量 $O(M \cdot N!)$, 時間計算量 $O(M \cdot (N!)^2)$ で解くことができる
- ▶ $N = 10$ で $(N!)^2 \approx 1.3 \times 10^{13}$ なので, 小規模の回路にしか適用できない.

ソルバーの実装

バイナリ変数を用いた定式化

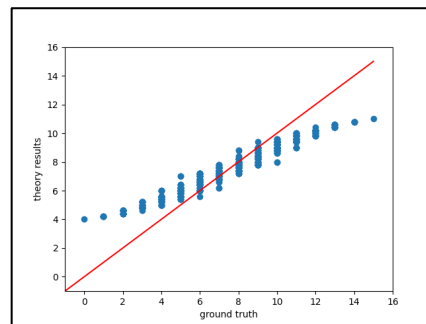
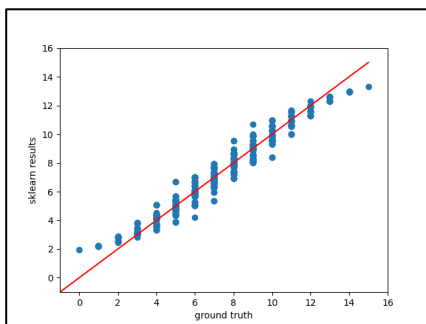
- ▶ 各レイヤーにおける量子ビットは $[0, 1, \dots, N - 1]$ の並び替えとなる
- ▶ Q_{mnv} : 「レイヤー m における n 番目は, 設計図における v 番目に対応する」
 - ▶ MN^2 個の量子ビットが必要
- ▶ one-hot 制約
 - ▶ 「設計図におけるビットは1つのビットに対応する」 : $\sum_{n=0}^{N-1} Q_{mnv} = 1$
 - ▶ 「レイヤーにおけるビットは1つのビットに対応する」 : $\sum_{v=0}^{N-1} Q_{mnv} = 1$
- ▶ CXゲートによる制約
 - ▶ 作用させる2ビットは隣り合っていないなければならない
 - ▶ ペナルティ関数 : $\sum_{(a,b) \in [2\text{-input-gates}]} \sum_{(i,j), |i-j| \geq 2} Q_{mia} Q_{mjb}$

コスト関数の定式化 (初期案)

- ▶ $C_{ij} = 1 \Leftrightarrow C[i] = j \Leftrightarrow A[i] = B[j]$ を用意
 - ▶ レイヤー A, B 間でシンボルが一致している組み合わせ
 - ▶ $C_{ij} = \sum_{v=0}^{N-1} A_{iv} B_{jv}$
- ▶ 転倒数 (= シンボルどうしが入れ替わった回数) を以下のように定式化
 - ▶ $cost = \sum_{0 \leq i_1 < i_2 < N} \sum_{0 \leq j_2 < j_1 < N} C_{i_1 j_1} \cdot C_{i_2 j_2}$
- ▶ しかし, うまくいかず...
 - ▶ 制約条件 $C_{ij} = \sum_{v=0}^{N-1} A_{iv} B_{jv}$ は, 2次多項式の形をしている
 - ▶ ペナルティの関数は $\frac{(C_{ij} - \sum_{v=0}^{N-1} A_{iv} B_{jv})^2}{2\text{次式の2乗} = 4\text{次式}} = 0$ となり, 2次以下の多項式で表せない

転倒数のフィッティング

- ▶ 重回帰分析を試した結果
 - ▶ 10^{14} オーダーの係数が出てきてしまったが、まあまあ綺麗にフィットしていた
- ▶ 期待値による推定を行った結果
 - ▶ 係数は計算できるが、のっぺりした分布に...



図：重回帰分析，期待値による転倒数の推定結果.
横軸が正しい値，縦軸が推定値である。

- ▶ 驚くべきことに，両者は互いに一次関数の関係にあった
 - ▶ そのため，重回帰分析のフィッティング結果を生成できるように

転倒数の推定モデルの実装

- ▶ 期待値による推定：転倒数 $\approx \left\{ \sum_{0 \leq i, j < N} \left(\frac{i+j}{2} - \frac{ij}{N-1} \right) \cdot C_{ij} \right\}$
- ▶ 重回帰分析の結果へ変換： $y = \frac{2N-2}{N} x - \frac{(N-1)(N-2)}{4}$
- ▶ \rightarrow 転倒数 $\approx \frac{2N-2}{N} \left\{ \sum_{0 \leq i, j < N} \left(\frac{i+j}{2} - \frac{ij}{N-1} \right) \left(\sum_{v=0}^{N-1} A_{iv} B_{jv} \right) \right\} - \frac{(N-1)(N-2)}{4}$ と書ける
 - ▶ レイヤー $m, m+1$ 間においては, $A_{iv} = Q_{miv}, B_{jv} = Q_{(m+1)jv}$
- ▶ 代入すると, 以下のように整理できる
 - ▶ $\sum_{m=0}^{M-2} \left\{ \sum_{0 \leq i, j < N} \frac{(N-1)(i+j)-2ij}{N} \left(\sum_{v=0}^{N-1} Q_{miv} Q_{(m+1)jv} \right) \right\} - (M-1) \frac{(N-1)(N-2)}{4}$

この部分を最小化したい.

定数項.
最小化においては無視される.

QUBO形式への変換

- ▶ $cost = \sum_{m=0}^{M-2} \left\{ \sum_{0 \leq i, j < N} \frac{(N-1)(i+j)-2ij}{N} \left(\sum_{v=0}^{N-1} Q_{miv} Q_{(m+1)jv} \right) \right\}$
- ▶ $constraint = \sum_{m=0}^{M-1} \left\{ \underbrace{\sum_{v=0}^{N-1} (1 - \sum_{n=0}^{N-1} Q_{mnv})^2}_{\text{one-hot 制約}} + \underbrace{\sum_{n=0}^{N-1} (1 - \sum_{v=0}^{N-1} Q_{mnv})^2}_{\text{one-hot 制約}} + \underbrace{\sum_{(a,b) \in [2\text{-input-gates}]} \sum_{(i,j), |i-j| \geq 2} Q_{mia} Q_{mjb}}_{\text{CXゲートによる制約}} \right\}$
- ▶ $model = constraint \times \lambda + cost$ として構成した
 - ▶ $model$ の項数(= モデルの規模)は $O(MN^3)$ 個
 - ▶ 制約 \gg コストとするために, $\lambda = 100$ と設定

パフォーマンスの評価

評価：コスト最小化の性能比較

- ▶ ランダムに生成したデータ10個に対するコストの平均値を記録した
 - ▶ 古典的解法は最適解を出力する (ので, 必ず 古典的解法 \leq Amplify解法 となる)
 - ▶ Amplify解法においては, 出力した結果をもとに厳密なコストを計算した
- ▶ $M = 20$ での誤差が大きくなっている
 - ▶ 転倒数の近似が原因? λ を調整してみる? *timeout* を伸ばす?

N	3	4	5	6
古典的解法 ($M = 5$)	0.6	1.4	2.1	4.1
Amplify解法 ($M = 5$)	0.6	1.4	2.1	4.5
古典的解法 ($M = 20$)	3.8	13.0	15.0	24.9
Amplify解法 ($M = 20$)	3.8	13.1	18.9	34.0

表：それぞれの解法におけるコストの平均値.

評価：実行時間の比較

- ▶ $M = 5$ にて, N を動かした時の実行時間(秒)を比較した
 - ▶ 古典的な $O(M \cdot (N!)^2)$ 解法では $N = 7$ が限界だった

N	3	4	5	6	7	8	9	10	15	20
古典的解法	0.0007	0.0084	0.4551	8.9532	566.95	—	—	—	—	—
Amplify解法	1.8336	1.8184	1.4685	1.1751	1.2766	1.3620	1.3654	1.6483	6.1014	20.047

表： N を動かした時の実行時間の比較.

$6 \leq N$ においてAmplify解法の方が高速となっている.

- ▶ N が大きくなると, Amplify解法でも時間がかかる傾向に
 - ▶ 量子ビット, 制約, コスト関数の準備に時間がかかっていた

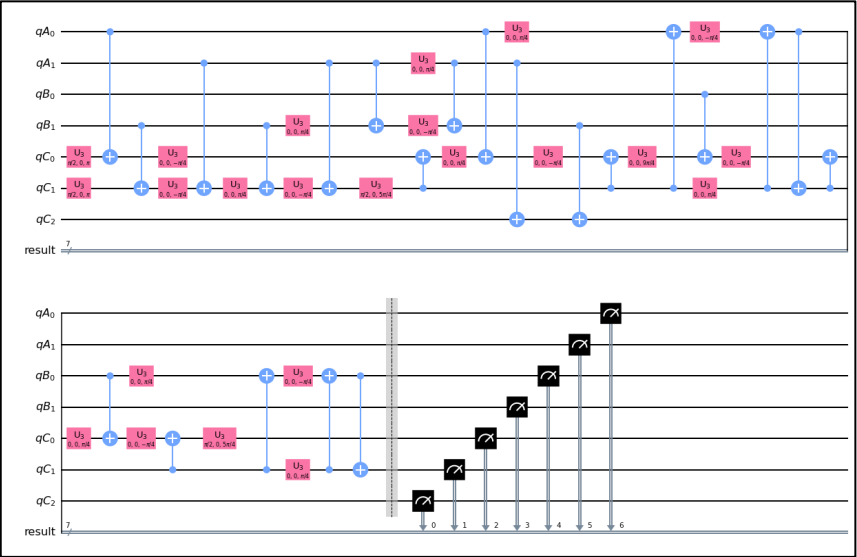
評価：実行時間の見積もり

- ▶ 探索にかかる時間は固定だが、制約条件とコスト関数が $O(MN^3)$ 項あるため古典計算がオーバーヘッドとなり、全体的で $O(MN^3)$ となると推測される
- ▶ といっても、古典的解法は $O(M \cdot (N!)^2)$ なので飛躍的向上と言える
- ▶ $N = 50$ (現時点での最大級の量子ビット数) でも数分あれば計算できるはず

アプリ制作

OpenQASMとの連携

- ▶ 「OpenQASM」という言語で書かれた回路を入力できるようにしたい
- ▶ U3ゲートとCXゲートに分解済みの回路を入力に用いることとする



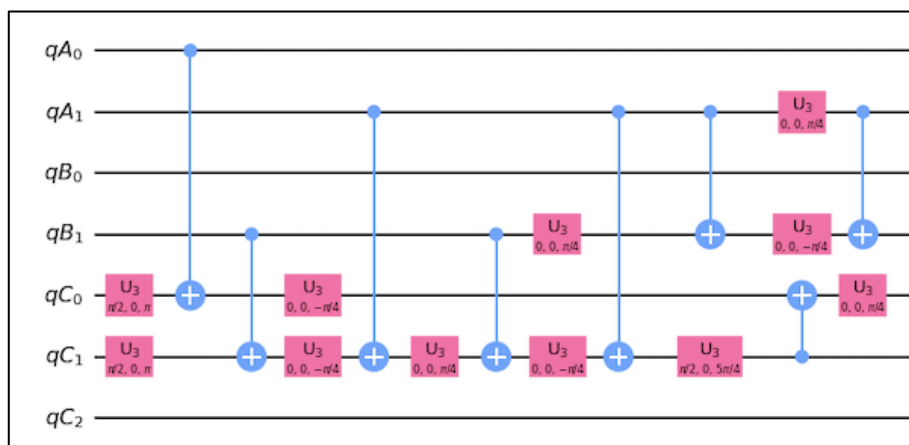
図：展開した後の回路.

. . . u3(pi/2,0,pi) qC[0]; cx qA[0],qC[0]; u3(0,0,-pi/4) qC[0]; u3(pi/2,0,pi) qC[1]; cx qB[1],qC[1]; u3(0,0,-pi/4) qC[1]; cx qA[1],qC[1]; u3(0,0,pi/4) qC[1]; cx qB[1],qC[1]; u3(0,0,pi/4) qB[1]; u3(0,0,-pi/4) qC[1]; cx qA[1],qC[1]; cx qA[1],qB[1]; u3(0,0,pi/4) qA[1]; u3(0,0,-pi/4) qB[1];	cx qA[1],qB[1]; u3(pi/2,0,5*pi/4) qC[1]; cx qC[1],qC[0]; u3(0,0,pi/4) qC[0]; cx qA[0],qC[0]; u3(0,0,pi/4) qA[0]; u3(0,0,-pi/4) qC[0]; cx qC[1],qC[0]; u3(0,0,9*pi/4) qC[0]; cx qB[0],qC[0]; u3(0,0,-pi/4) qC[0]; cx qC[1],qA[0]; u3(0,0,-pi/4) qA[0]; u3(0,0,pi/4) qC[1]; cx qC[1],qA[0]; cx qA[0],qC[1];	cx qC[1],qC[0]; u3(0,0,pi/4) qC[0]; cx qB[0],qC[0]; u3(0,0,pi/4) qB[0]; u3(0,0,-pi/4) qC[0]; cx qC[1],qC[0]; u3(pi/2,0,5*pi/4) qC[0]; cx qC[1],qB[0]; u3(0,0,-pi/4) qB[0]; u3(0,0,pi/4) qC[1]; cx qC[1],qB[0]; cx qB[0],qC[1]; cx qA[1],qC[2]; cx qB[1],qC[2]; . . .
----------------------------------------------------------------------------------------------------------------------------------------------------------------------------------------------------------------------------------------------------------------------------------------------------------------------------------------------	--------------------------------------------------------------------------------------------------------------------------------------------------------------------------------------------------------------------------------------------------------------------------------------------------------------------------------------------------------	----------------------------------------------------------------------------------------------------------------------------------------------------------------------------------------------------------------------------------------------------------------------------------------------------------------

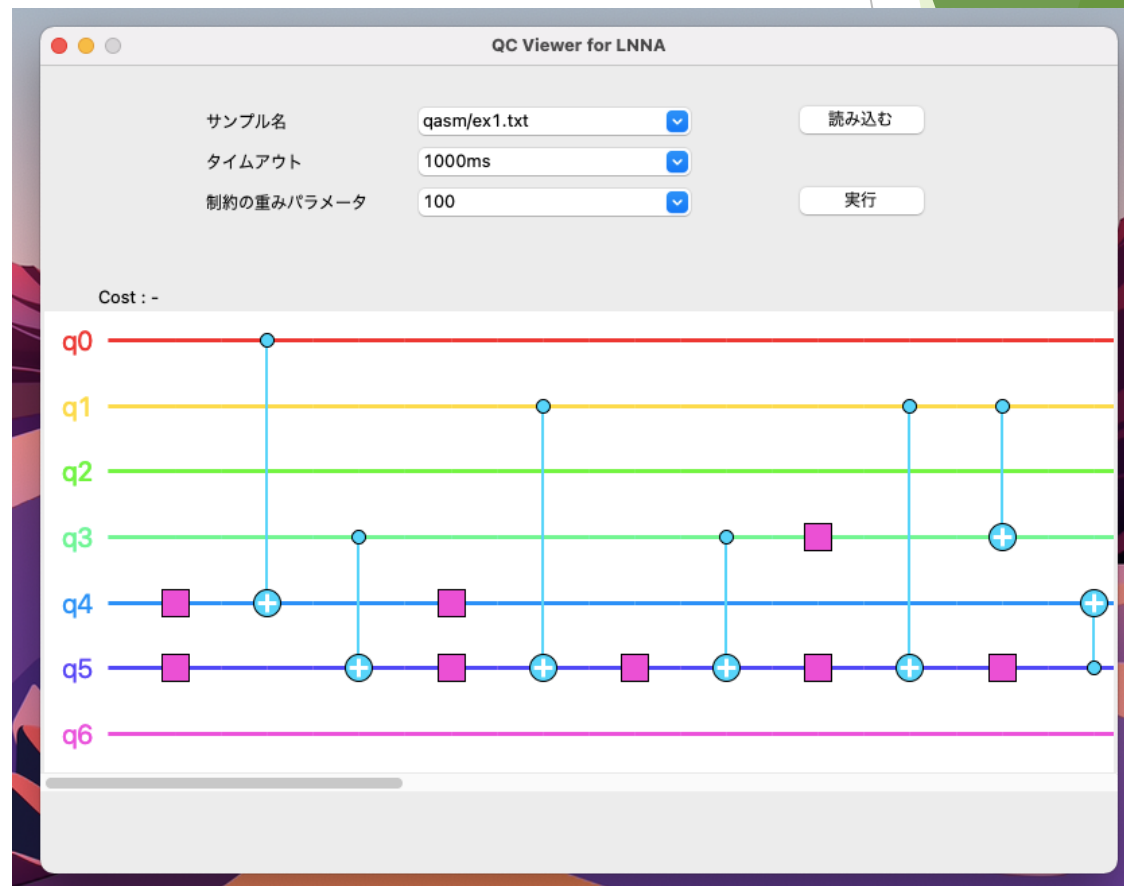
図：出力されるOpenQASMプログラム.

アプリ機能紹介：量子回路の描画

- ▶ tkinterというライブラリで実装
- ▶ 設計図における回路と、LNNA向けの回路 (Amplify解法の結果) を描画する



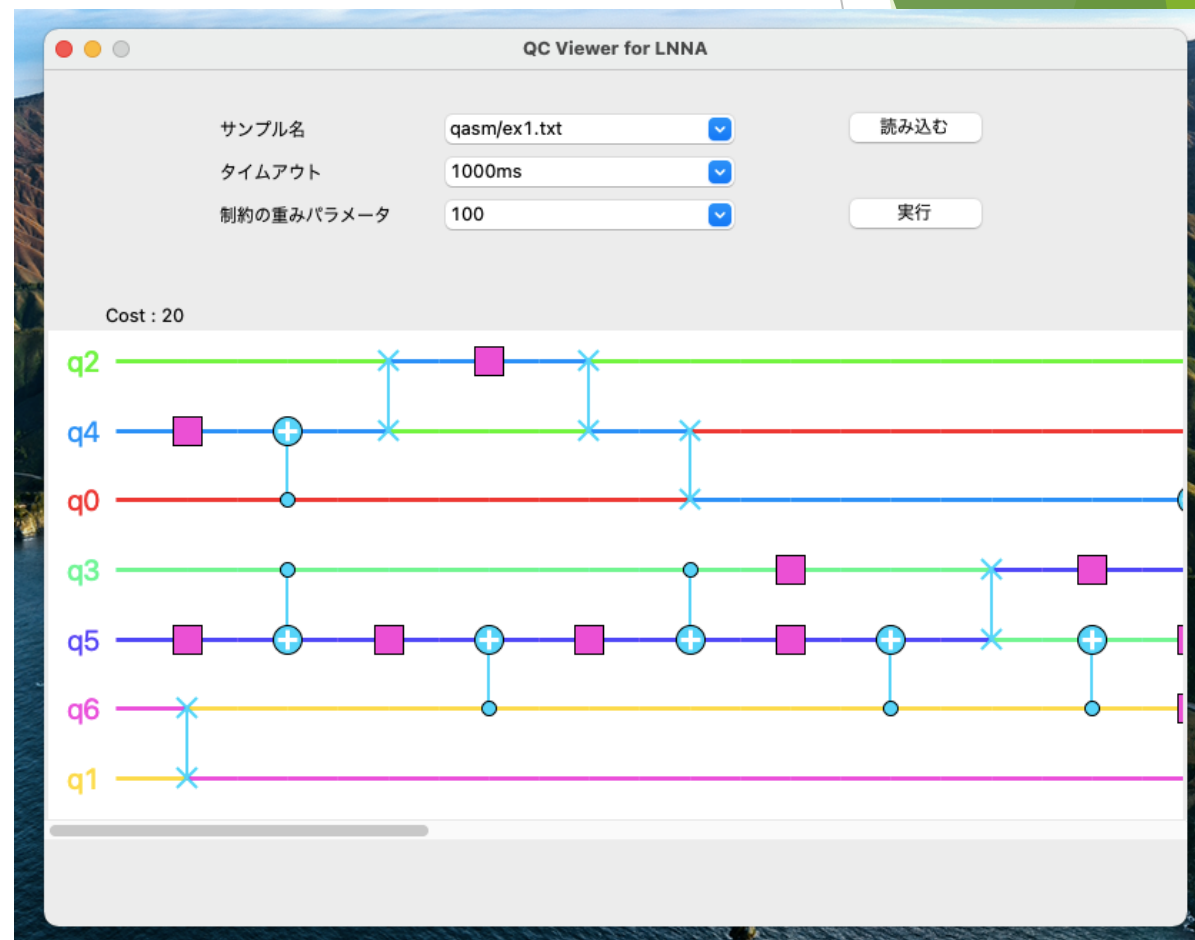
図：読み込んだ回路設計図の一部。
(IBM Q上で描画。)



図：ビジュアライザ上での描画結果。

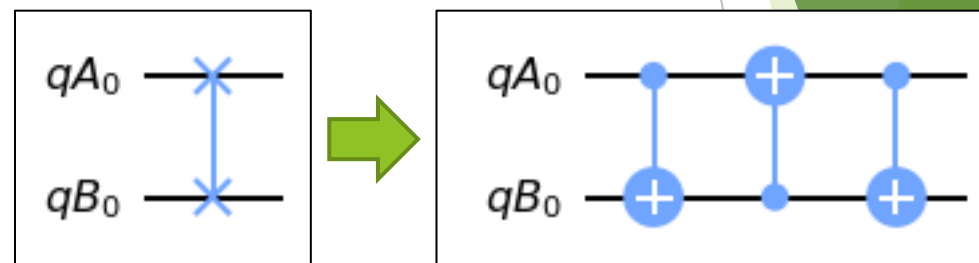
アプリ機能紹介：Amplifyの呼び出し

- ▶ 第三章で構成した解法を呼び出す
 - ▶ タイムアウト (探索時間) の調整可
 - ▶ 制約重みパラメータの調整可
- ▶ コスト (SWAPゲートの個数) の表示
 - ▶ 右の例ではコスト = 20 となった.
- ▶ 並び替え後の回路の描画
 - ▶ SWAPゲートは「X-X」で描画されている

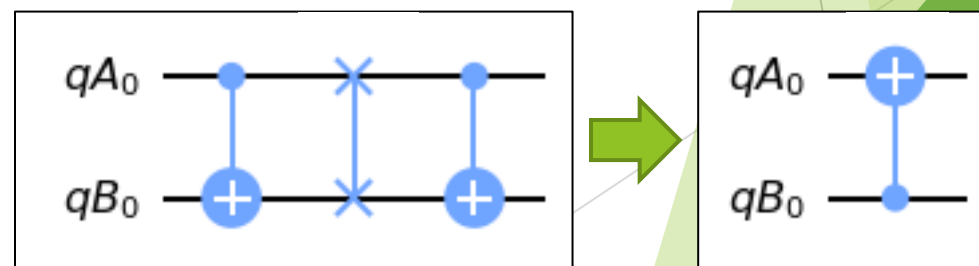


アプリ機能紹介：OpenQASM形式で出力

- ▶ SWAPゲートを3つのCXゲートに置き換えることでOpenQASM形式に書き換えることが可能
 - ▶ 設計図段階の回路を入力して、アプリでLNNA向けの回路に変換して、その結果を出力できるように



- ▶ CXゲートの個数が最も少なくなるように置き換えを実行
 - ▶ 上下反転を考えると、置き換えは2通りある
 - ▶ CXゲートが相殺する場合がある



アプリを使ってみる

